

MÉTHODES D'ONDELETTES POUR L'ANALYSE NUMÉRIQUE  
D'INTÉGRALES OSCILLANTES

Daniel Goujot

Sous la direction de P.G. Lemarié-Rieusset

Département de mathématiques

Université d'Évry-Val-d'Essonne

## PLAN DE L'EXPOSÉ

- A : L'équation CFIE
- B : Le processus de discrétisation
- C : Interactions distantes
- D : Interactions
- E : Modification des ondelettes pour un fenêtrage fréquentiel précis
- F : Calibration du pas de discrétisation

## $A^{1/4}$ CONTEXTE PHYSIQUE

Nous résolvons l'équation  $AJ = L$ .

L'intensité  $J \in L^2(\partial S)$  engendre  $E^{diff} = G \star J d\sigma$  :  
 potentiel de simple couche, avec  $G(x) = -\frac{i}{4} H_0^{(1)}(k\|x\|)$ .  
 Le second membre  $L \in L^2(\partial S)$  dépend de  $E^{inc}$ .

} Vérifient  
 $\Delta E + k^2 E = 0$ .

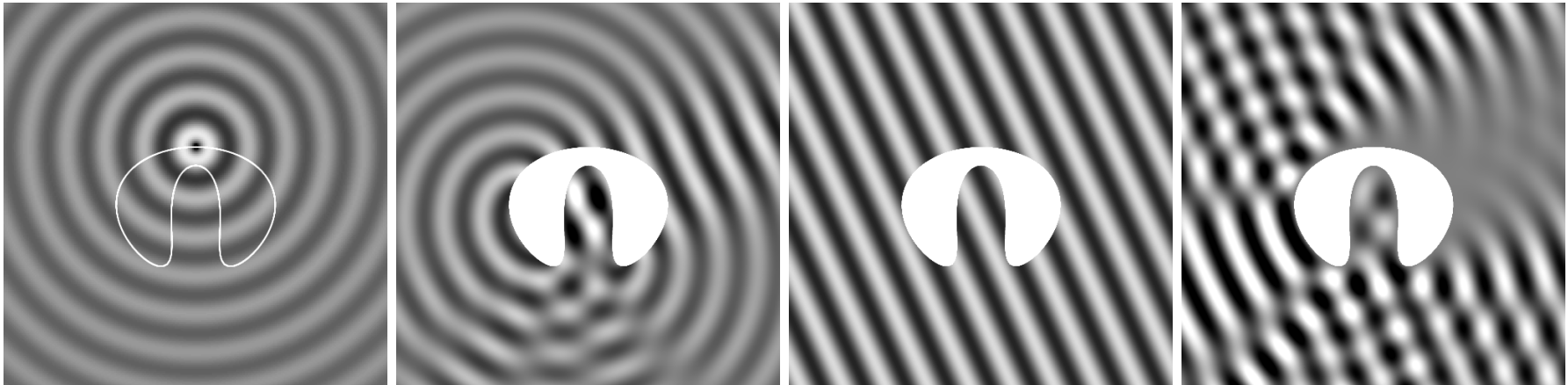


Fig 1:  
 $\partial S$  et  $G$

Fig 2:  
 $\text{Re}(E^{diff})$ .

Fig 3:  
 $-\text{Re}(E^{inc})$ .

Fig 4:  
 $\text{Re}(E^{total})$ .



La somme  $E^{total} = E^{inc} + E^{diff}$  est le courant électrique total.

## $A^{2/4}$ L'ÉQUATION CFIE

Prolongation de  $E^{total}$ ,  $E^{inc}$  et  $E^{diff}$  à l'intérieur :

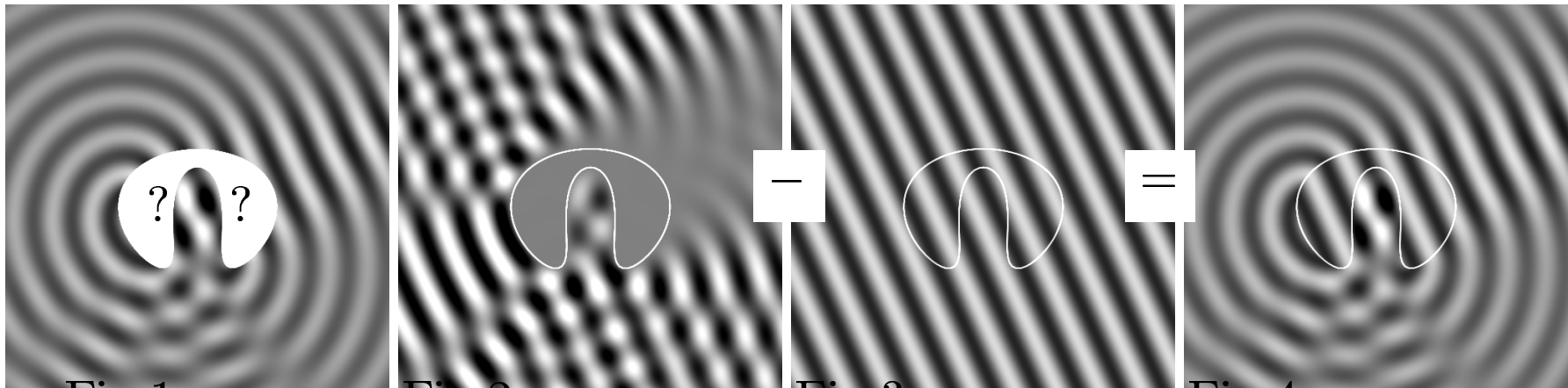


Fig 1:  
 $\mathcal{R}e(E^{diff})$

Fig 2:  
 $E^{total}$  nul sur  $\partial S$

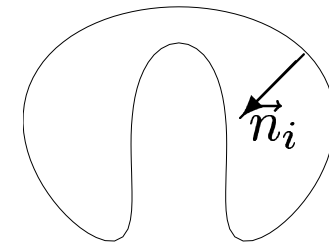
Fig 3:  
 $-E^{inc}$  onde plane

Fig 4:  
 $E^{diff}$  avec  $-E_S^{inc}$

Le potentiel simple couche fait exactement la même prolongation.

Combinaison "CFIE" :  $0 = i\alpha k \left( E_{|\partial S}^{diff} + E_{|\partial S}^{inc} \right) - 2 \frac{d}{dn_i} (E^{diff} + E^{inc}) = AJ - L$

$$L = -i\alpha k E_{|\partial S}^{inc} + 2 \frac{d}{dn_i} E^{inc}$$





## $A^{3/4}$ OPÉRATEUR DE FREDHOLM HAUTES FRÉQUENCES

$$AJ = i\alpha k E_{|\partial S}^{diff} + 2 \frac{d}{dn_i} E^{diff}$$

$$AJ(s') = J(s') + \int_{\partial S} i\alpha k G(s' - s) J(s) ds + 2 \int_{\partial S} \frac{dG}{dn'_i}(s' - s) J(s) ds$$



### théorème A (2.27-2.28)

Uniformément en  $k \geq 1$ , sans (ou avec) coins :

$$\|A - \text{Id}\|_{L^2 \rightarrow H^1} = O(k^{3/2} \sqrt{\log k})$$

$$\|A\|_{L^2 \rightarrow L^2} = O(\sqrt{k} \log k)$$

## A<sup>4/4</sup> DU NOUVEAU AVEC L'INVERSIBILITÉ DE A

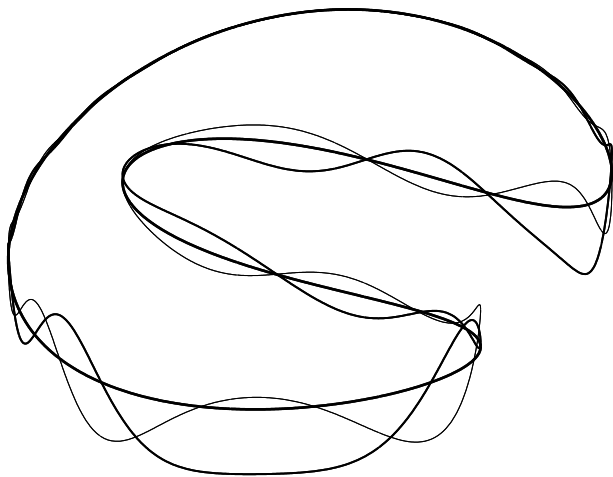
- Le i de  $AJ = i\alpha k E_{|\partial S}^{diff} + 2 \frac{d}{dn_i} E^{diff}$ , une formule de Stokes

$$\begin{aligned} \int_{\partial S} E^{diff}(s) \frac{dE^{diff}}{dn_i} ds &= \int_S (\overline{E^{diff}(s)} \Delta E^{diff}(s) + |\nabla E^{diff}(s)|^2) ds \\ &= -k^2 \int_S (|E^{diff}(s)|^2 + |\nabla E^{diff}(s)|^2) ds \end{aligned}$$

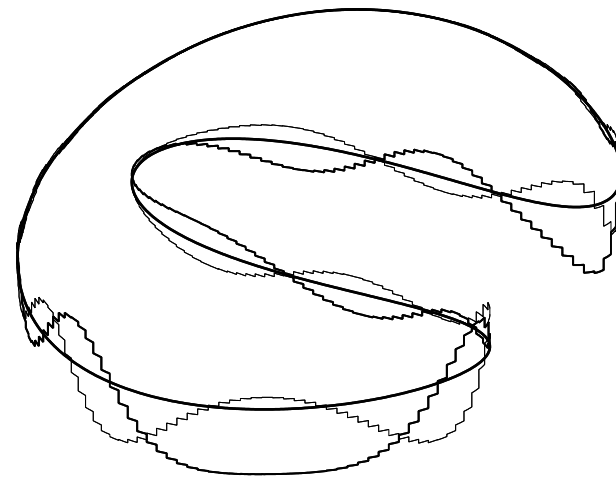
et  $J = \frac{d}{dn_i} E^{diff} + \frac{d}{dn_e} E^{diff}$  montrent l'injectivité de  $A$ .

- L'alternative de Fredholm montre que l'opérateur de Fredholm de seconde espèce  $A$  est inversible. Mais pas uniformément en  $k$ .
- Bonne nouvelle : pour bien poser le problème numérique,  $\sqrt{\|A^{-1}\|} kh \leq C$  suffit au lieu de  $kh \|A^{-1}\| \leq C$ .

## $B^{1/5}$ DISCRÉTISATION DE LA LA SOLUTION $J$



$\partial S, \text{Re}(J)$  et  $\text{Im}(J)$



$P_h J \in V_h$

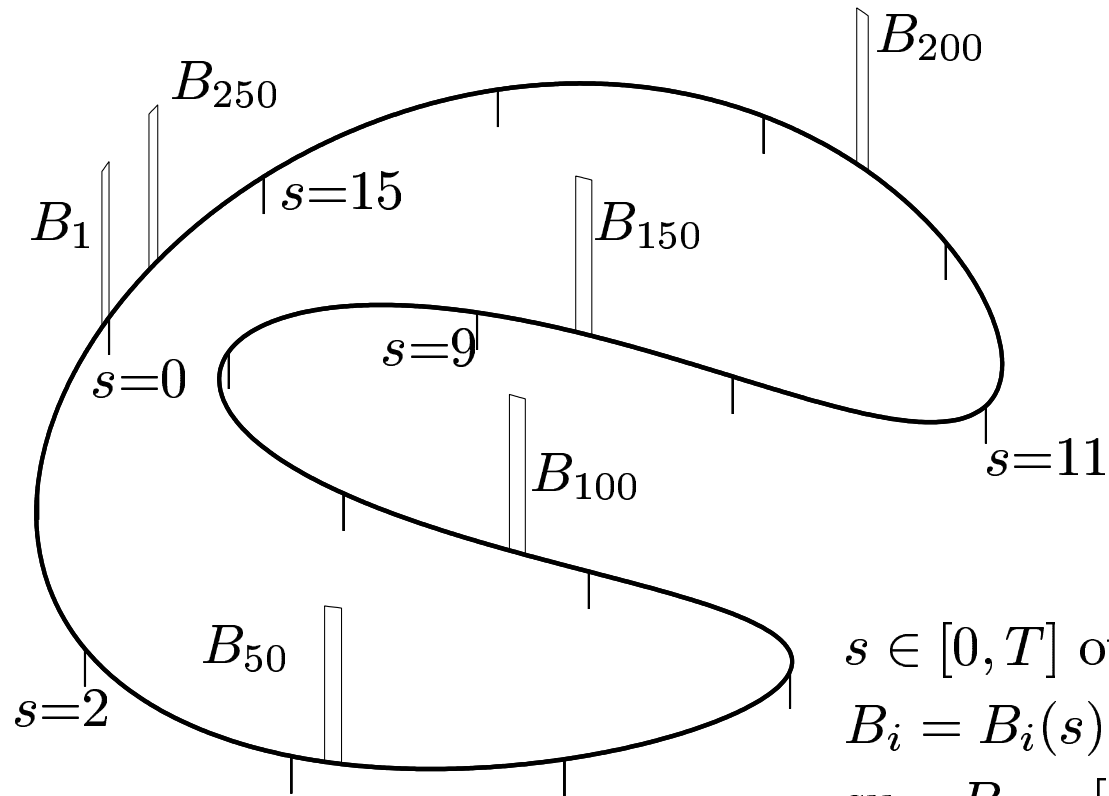
$P_h = \pi_{V_h}^\perp$ .  $N = \dim(V_h)$  degrés de liberté.

Sur ce dessin,  $N = 256$ . Nous cherchons à calculer  $P_h J$ .

Autres possibilités de discrétisation : ondelettes, Malvar.

Pour  $L$  le second membre :  $P_h L \in V_h$ . Et pour  $A$  ?

## $B^{2/5}$ DISCRÉTISATION DU BORD $\partial S$



$B = (B_1, B_2, B_3, \dots, B_N)$   
base orthonormée.

$s \in [0, T]$  où  $T = 16$ .

$B_i = B_i(s)$ .

$\text{supp} B_i = [\frac{i}{N}T, \frac{i+1}{N}T]$ .

$i = 1, \dots, N$  où  $N=256$ .

## $B^{3/5}$ DISCRÉTISATION DE L'OPÉRATEUR $A$

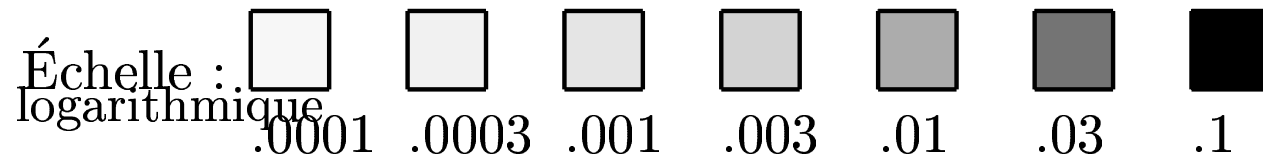
$A_h = P_h \circ A|_{V_h}$  est un endomorphisme de  $V_h$ .

Base orthonormée  $B$  avec  $N = 512$  :

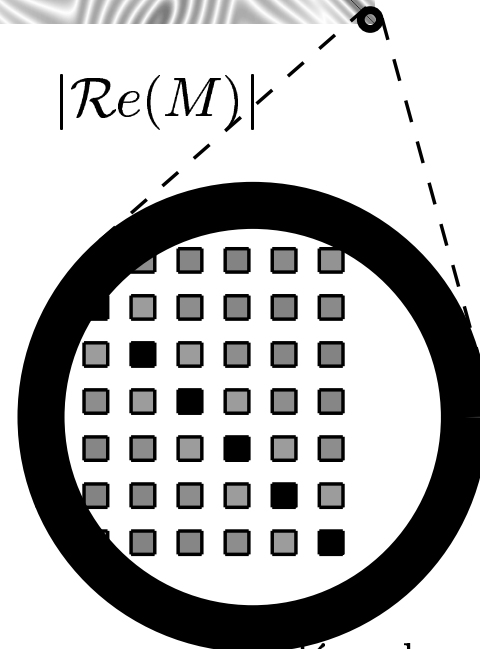
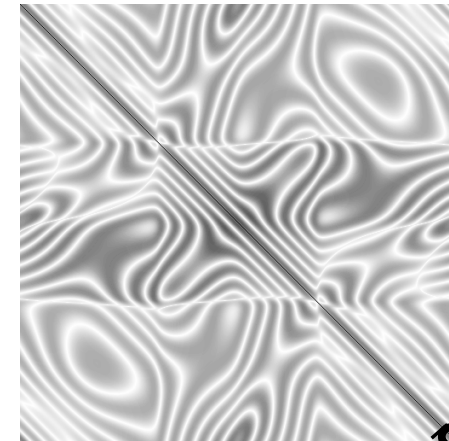
$$M = \left( \langle B_j | AB_i \rangle \right)_{\substack{i=1, \dots, N \\ j=1, \dots, N}}$$

Système :

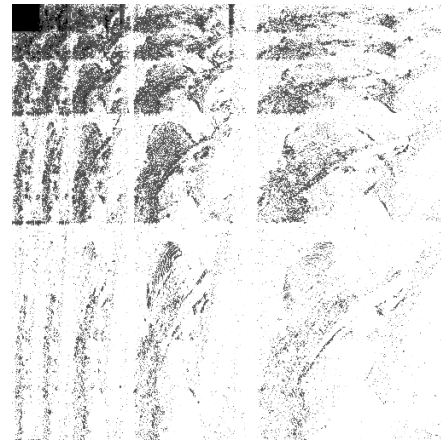
$$M \times \left( \langle B_i | J \rangle \right)_{i=1, \dots, N} = \left( \langle B_i | L \rangle \right)_{i=1, \dots, N}$$



Matrice pleine. Mieux choisir  $B$  ?



# $B^{4/5}$ DISCRÉTISATION AVEC LES ONDELETTES



□ .0001

□ .0003

□ .001

□ .003

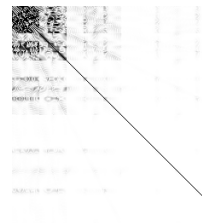
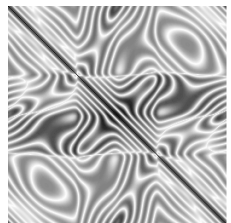
□ .01

□ .03

échelle.  
log.

■ .1

Daubechies à 8 moments nuls.  $N = 512$



Ainsi, bonne compression lorsque  $k = 2\pi$ .

Hautes fréquences ?

## B<sup>5/5</sup> RÉSULTAT DU SYSTÈME DISCRÉTISÉ

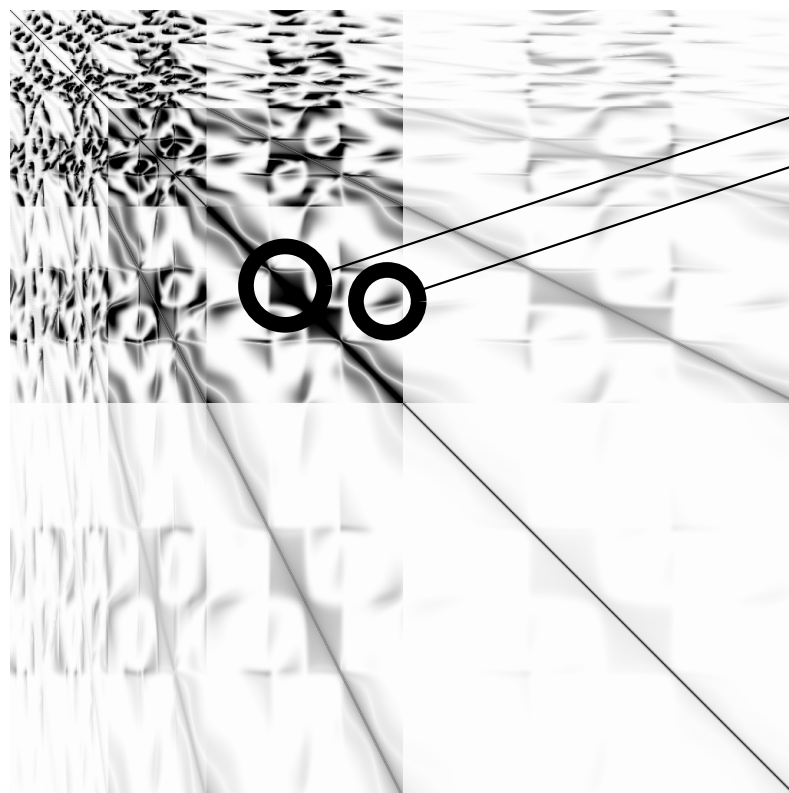
Intermède vidéo avec  $E^{inc}$ ,  $E^{diff}$  et  $E^{total}$ , où le facteur  $e^{-i\omega t}$  est explicite.

- Condition de radiation sortante de Sommerfeld pour  $E^{diff}$ .
- Nullité de  $E^{total}$  sur  $\partial S$ .

Deux cas :

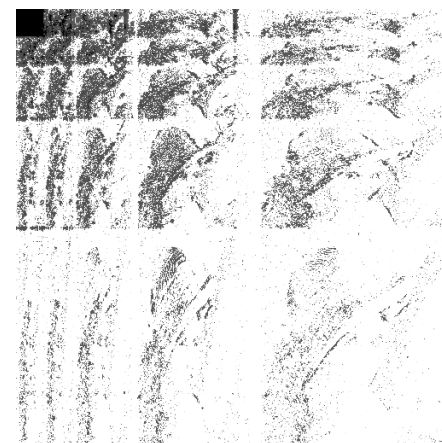
- $k = 2\pi$ ,  $kT = 32\pi$  et  $N = 512$ .
- $k = 20\pi$ ,  $kT = 320\pi$  et  $N = 2048$ .

# $C^{1/5}$ : ONDELETTES HAUTES FRÉQUENCES



Théorème D  
Théorème C

- .0001
- .0003
- .001
- .003
- .01
- .03
- .1



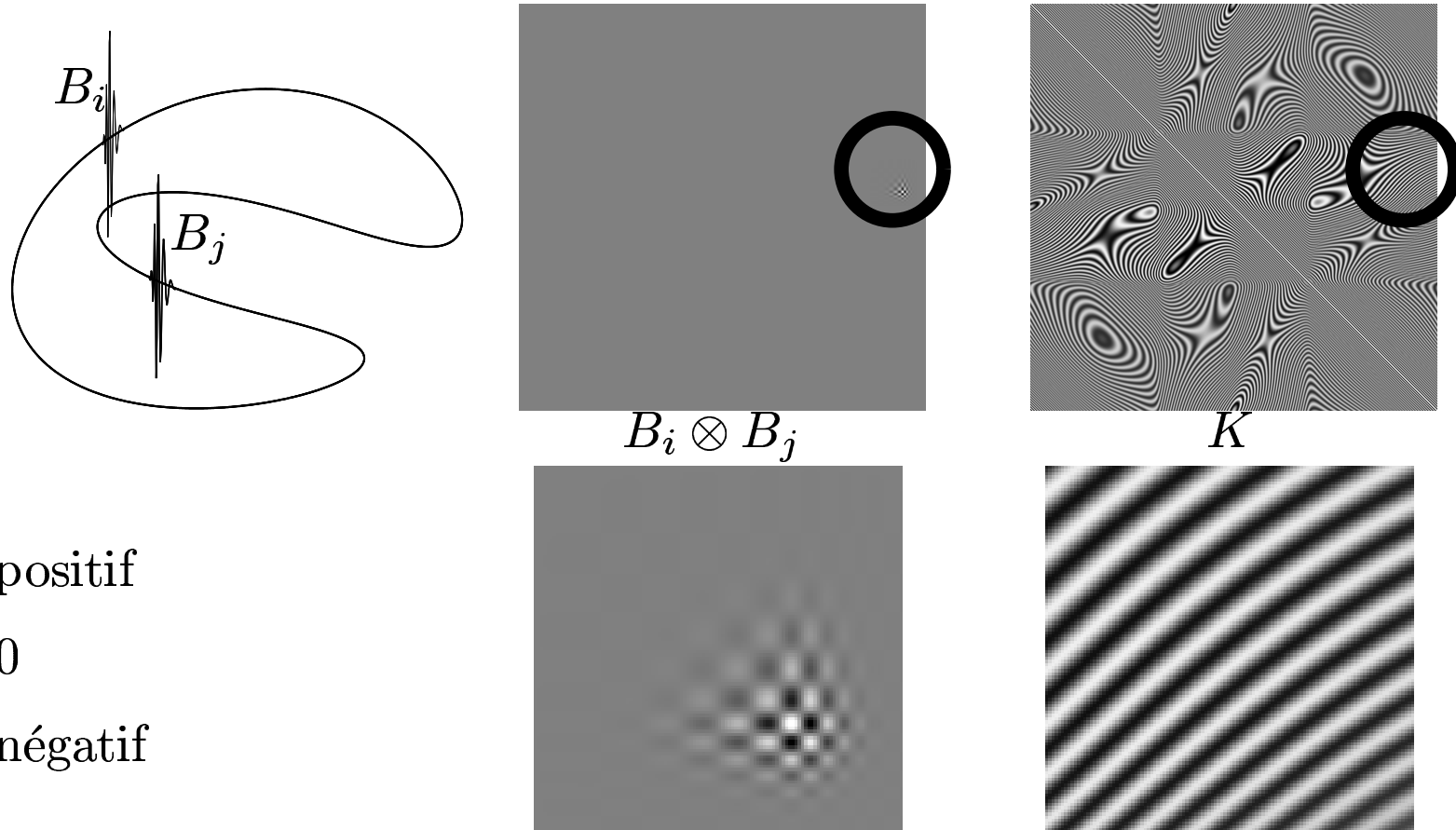
Complexité mémoire en  $O(k^2)$ . Pourquoi ?



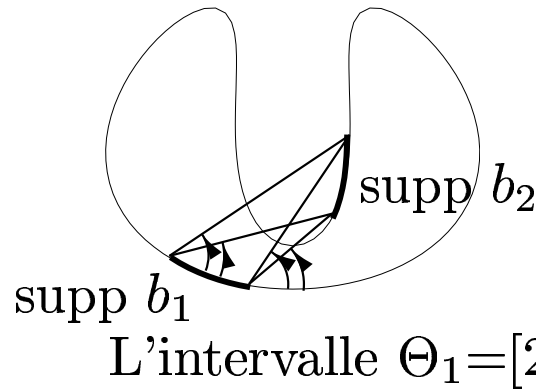
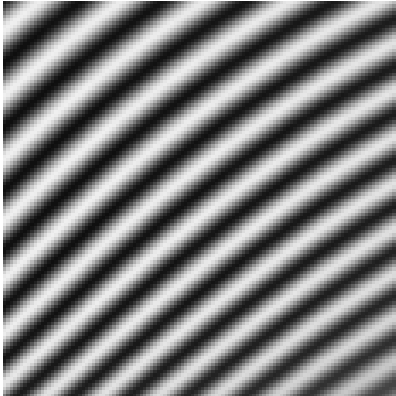
## $C^{2/5}$ LES SUPPORTS DES ONDELETTES

Cas non-diagonal : le coefficient vaut, avec  $K$  le noyau de  $A$  :

$$\langle B_j | AB_i \rangle = \int_{\partial S} \int_{\partial S} K(s, s') B_i(s) B_j(s') ds ds' = \langle B_i \otimes B_j | K \rangle$$



## $C^{3/5}$ INTERACTIONS À DISTANCE



$$d^2 = \min (\xi_1^2 + \xi_2^2, \text{dist}(\xi_1, \cos \Theta_1)^2 + \text{dist}(\xi_2, -\cos \Theta_2)^2)$$

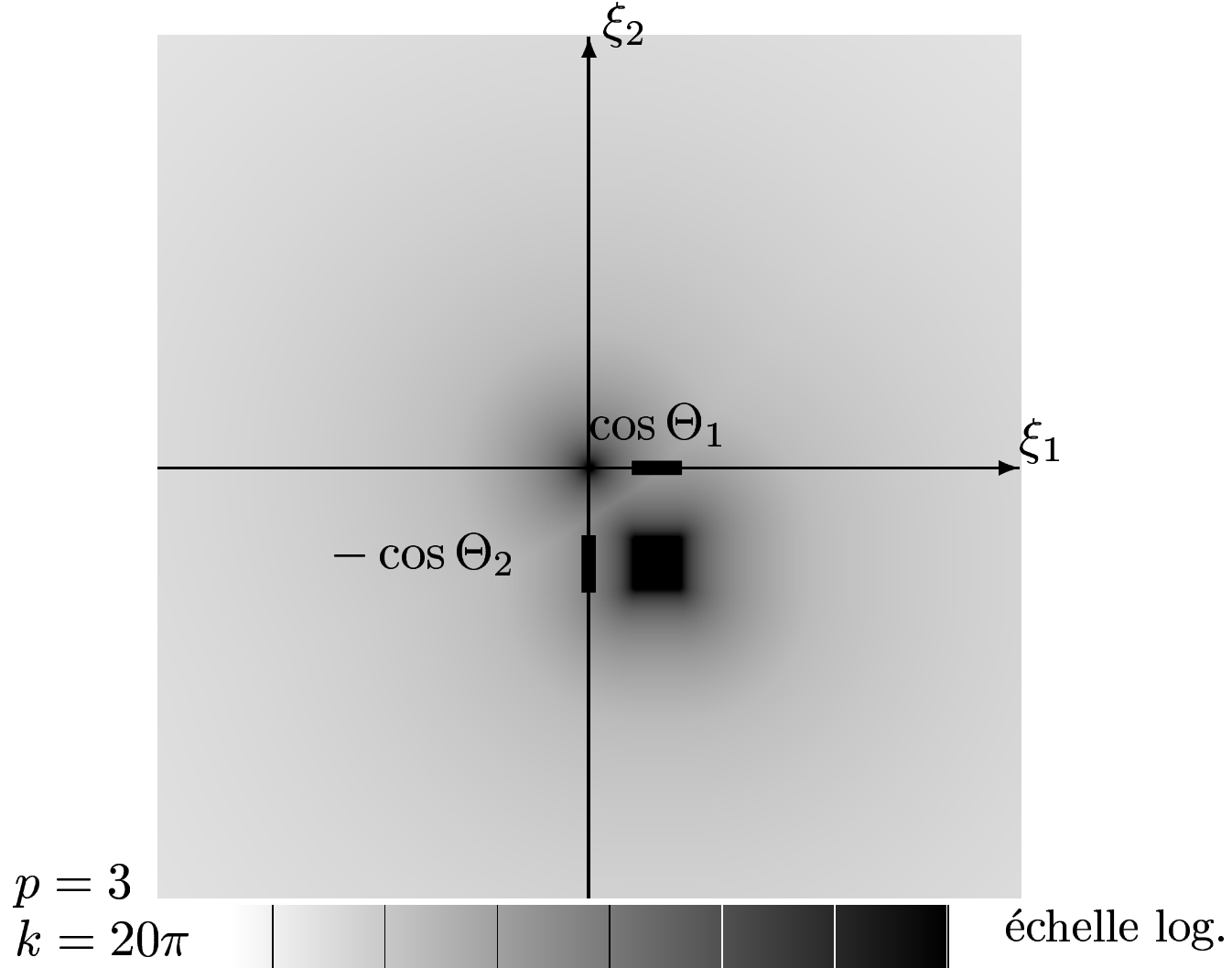


### théorème C (5.2)

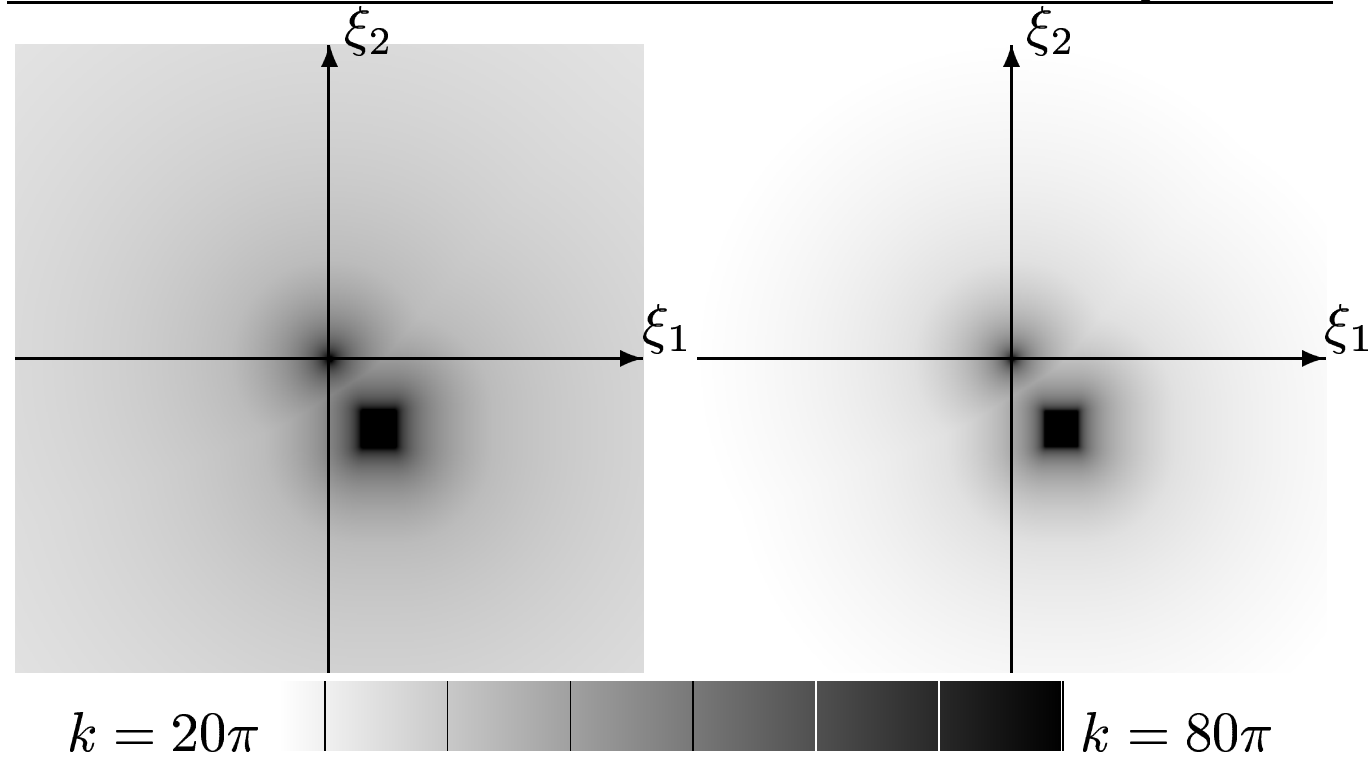
Avec  $b_1, b_2$  des fenêtres  $C^p$  distantes, et si  $d > 0$  :

$$\left\langle b_2(\cdot) e^{-2i\pi k \xi_2} \mid A \left( b_1(\cdot) e^{2i\pi k \xi_1} \right) \right\rangle \leq \frac{C_{S,\alpha,b_1,b_2,p}}{k^p \min(d^p, d^{2p})}$$

$C^{4/5}$  ALLURE DU MAJORANT DU THÉORÈME C



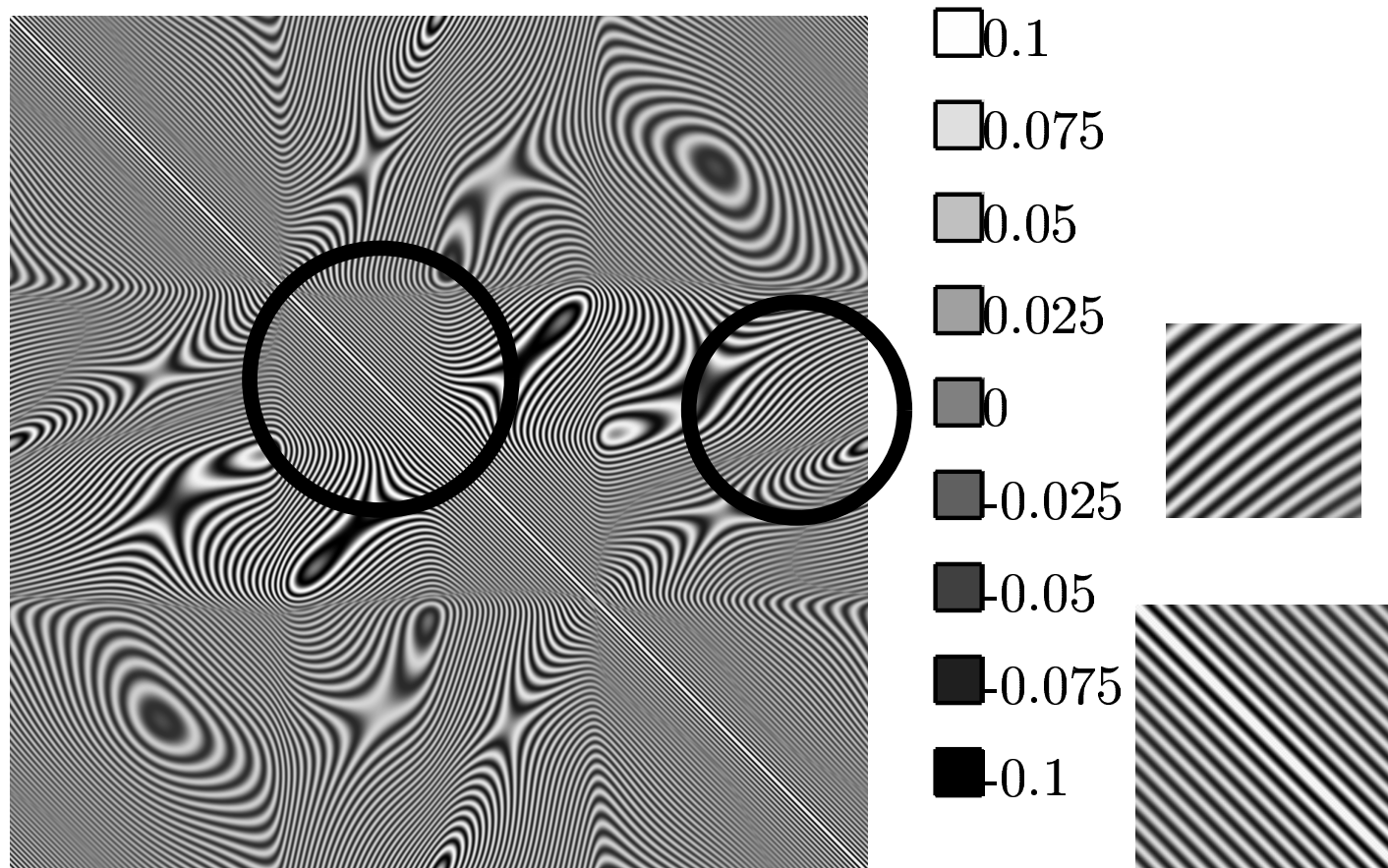
$C^{5/5}$  COMPORTEMENT DU MAJORANT EN FRÉQUENCE.



Graduations : puissances de 10.

Les lignes de niveau progressent vers le rectangle et l'origine en  $k^{-1/2}$ . Les bords des taches sont plus nets.

$D^{1/9}$  NOYAU AVEC SINGULARITÉ SUR LA DIAGONALE



La diagonale est singulière.

$D^{2/9}$  SINGULARITÉ SI LES FENÊTRES S'INTERSECTENT.

Avec  $b_1, b_2$  deux fenêtres  $C^p$  pouvant s'intersecter, et  $\xi_1, \xi_2 \in \frac{1}{kL}\mathbb{Z}$  :



**théorème D1 (4.3)**

Si  $d_- = \text{dist}(\xi_1 - \xi_2, \cos \Theta_1 + \cos \Theta_2) > 0$  :

$$\langle \langle \rangle \rangle \leq \frac{C_{S,\alpha,b_1,b_2,\varepsilon,p} \log k}{k^{p-\frac{1}{2}} \min(d_-^p, d_-^{2p})}.$$

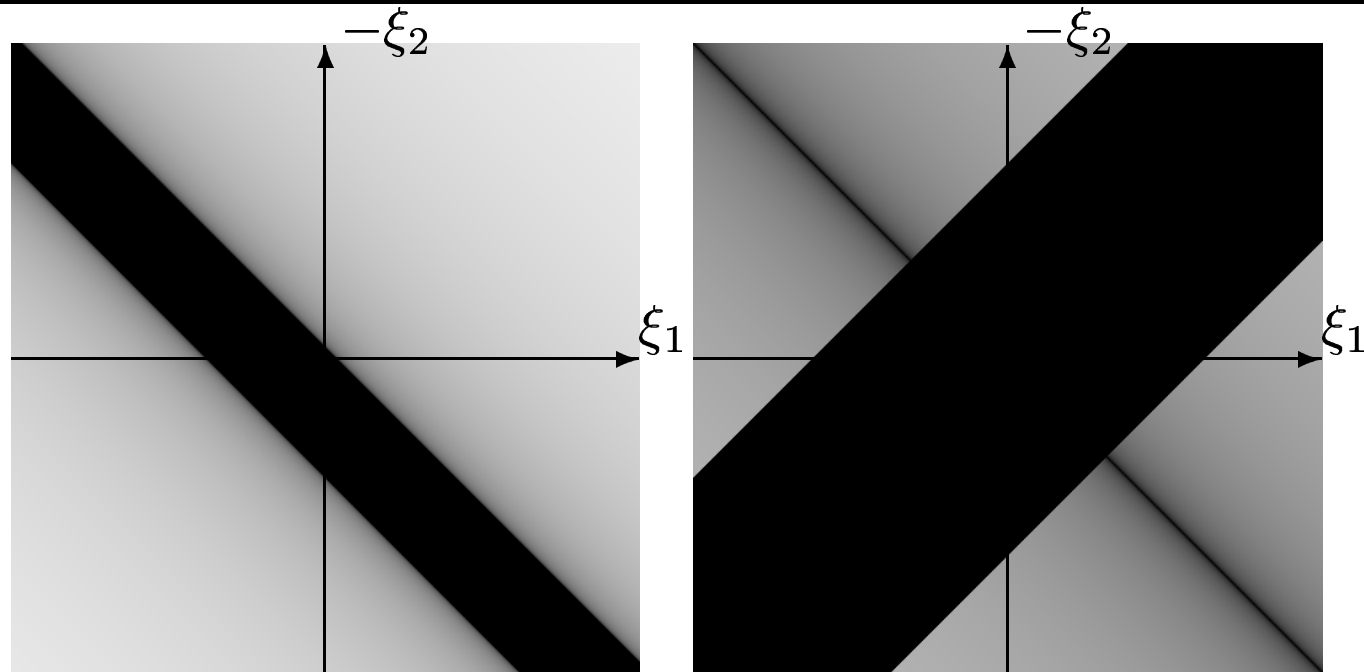


**théorème D2 (4.4)**

Si  $|\xi_1 + \xi_2| > C$  :  $\langle \langle \rangle \rangle \leq \frac{C_{S,\alpha,b_1,b_2}}{|\xi_1 + \xi_2|}$  ; et avec  $\xi_1 \neq \xi_2$ ,

$$\langle \langle \rangle \rangle \leq C_{S,\alpha,b_1,b_2} \left( \frac{\log k}{k^{p-1} |\xi_1 + \xi_2|^p} + \frac{1}{k^p |\xi_1 - \xi_2|^p |\xi_1 + \xi_2|} \right).$$

$D^{3/9}$  COMPORTEMENT DES MAJORANT D1 ET D2 EN FRÉQUENCE.



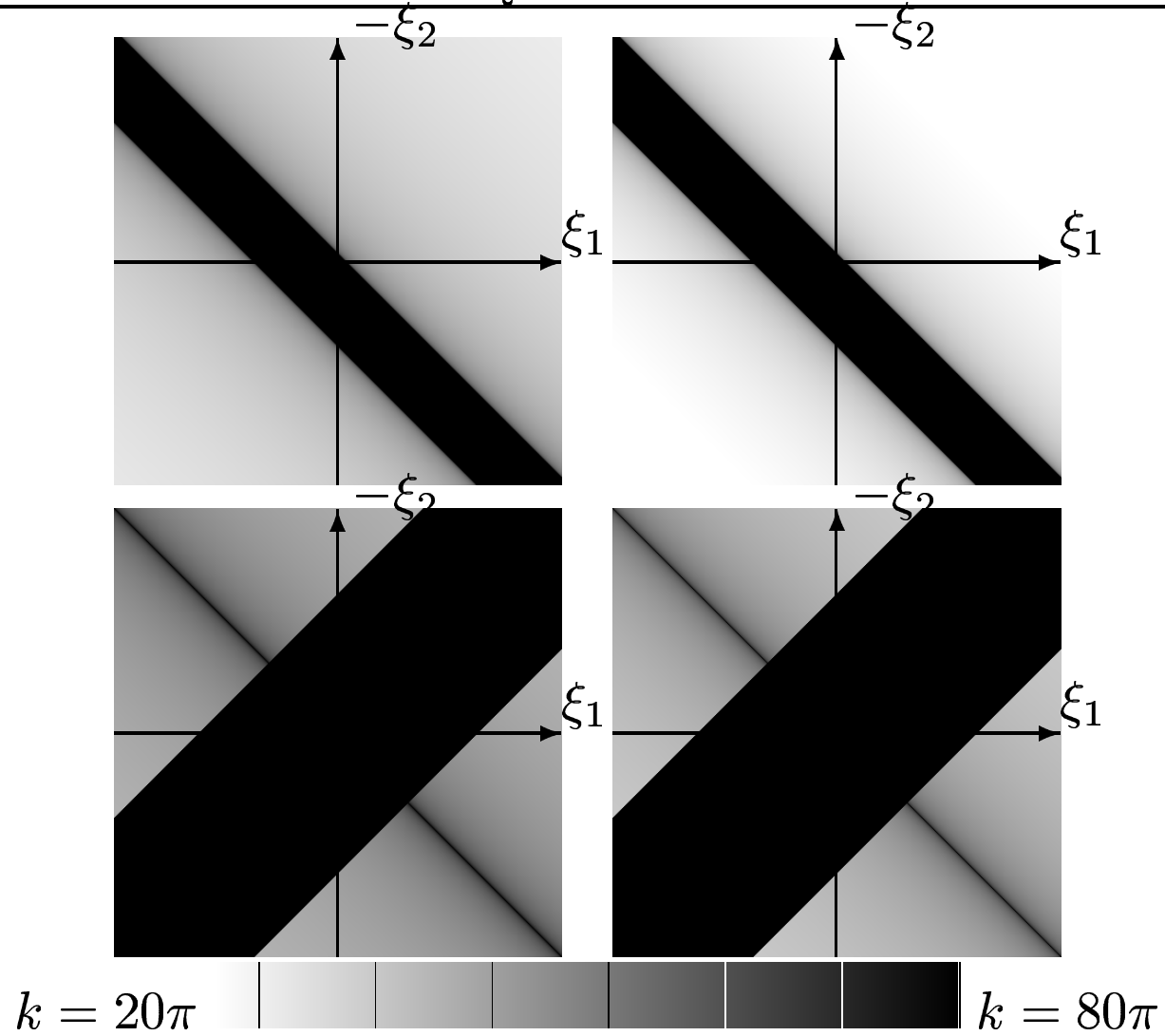
Th. D1



Th. D2

Graduations : puissances de 10.

D<sup>4/9</sup> SENSIBILITÉ À LA FRÉQUENCE DES MAJORANT D1 ET D2.





## D<sup>5/9</sup> THÉORÈMES D1 ET D2

Théorèmes charnières aux longues démonstrations.

Corollaires :

- Localisation de tous les coefficients importants de la matrice en ondelettes, en paquets d'ondelettes et en Malvar.
- Calibre le pas de discrétisation en ondelettes, en Fourier et (brouillon) en Malvar.

Le dernier point est *la seule chose* de la thèse incompatible avec des coins.

## D<sup>6/9</sup> TECHNIQUES DE DÉMONSTRATION UTILISÉES

Arguments dans la phase stationnaire :

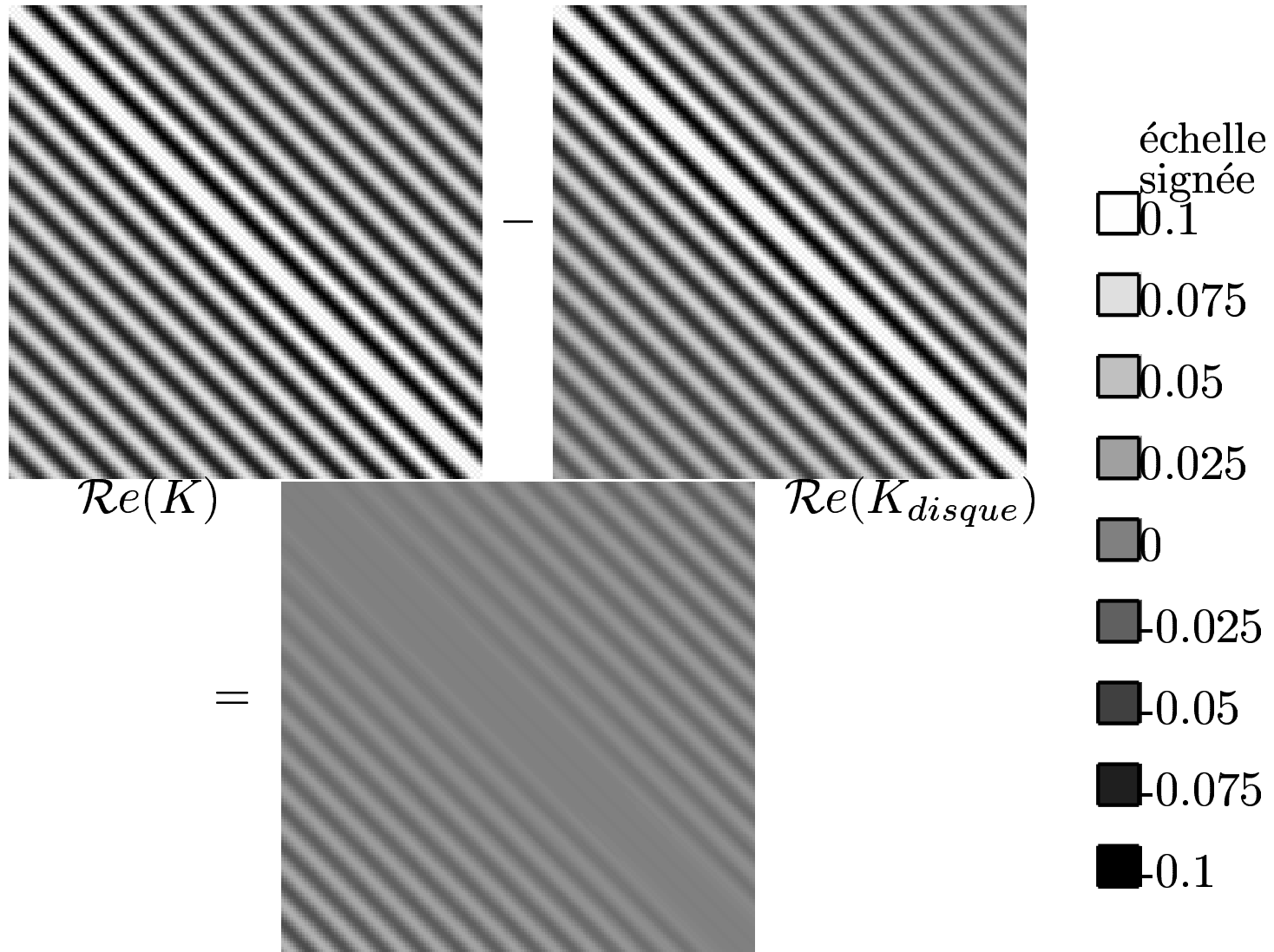
- Une intégration par parties homogène à hautes fréquences pour gérer  $p$  utilement.
- Une résolution directe du cas du disque.
- Les autres cas par un argument de perturbation pour gérer la singularité.

## D<sup>7/9</sup> ÉQUA. DIFF. MATRICIELLE HOMOGENÈNE À HAUTE FRÉQUENCE

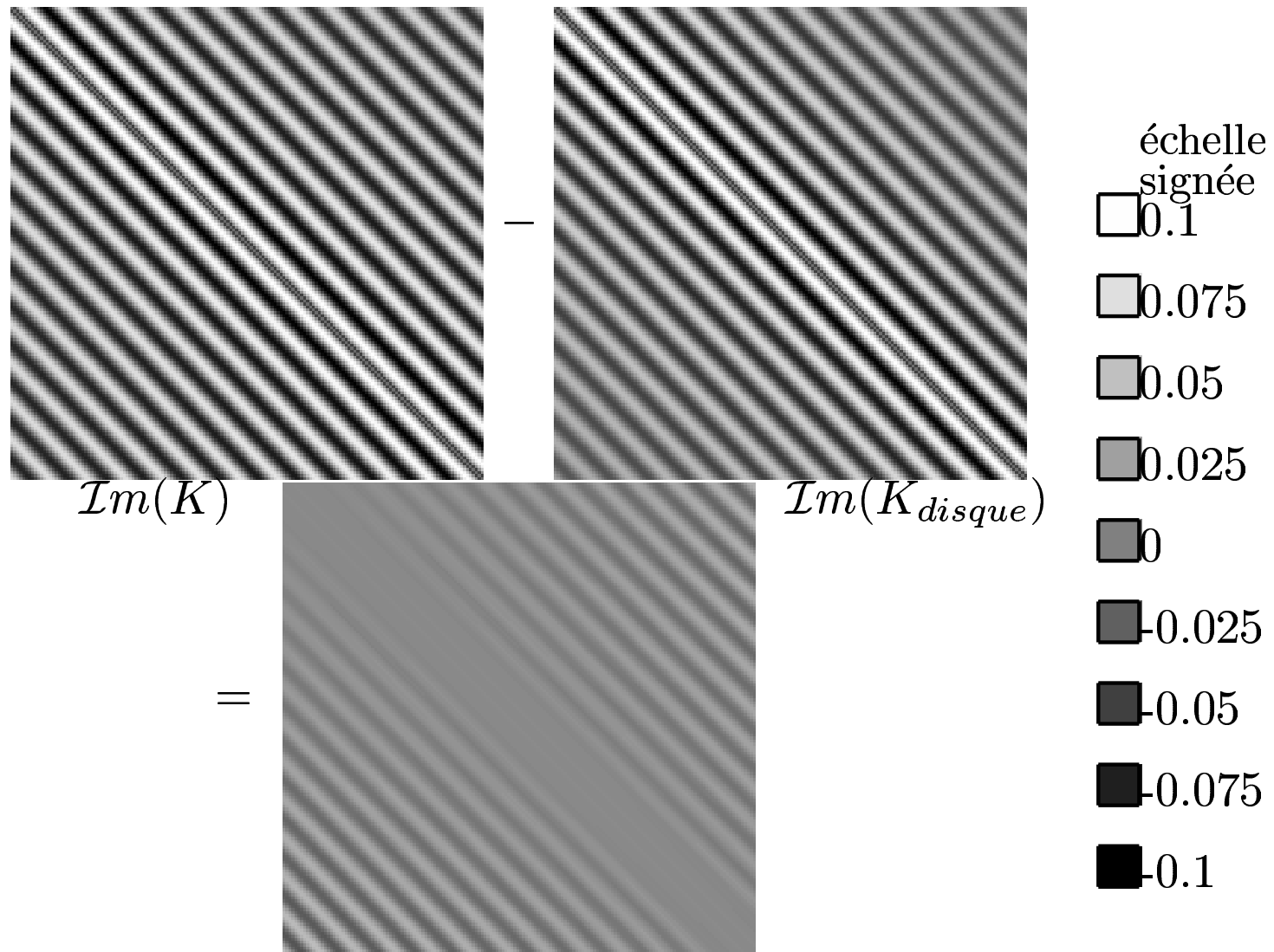
$$\begin{aligned}
 \frac{\partial^2 G}{\partial r^2} + \frac{1}{r} \frac{\partial G}{\partial r} + k^2 G &= 0 & \frac{\partial}{\partial r} \begin{bmatrix} G \\ \frac{1}{k} \frac{\partial G}{\partial r} \end{bmatrix} &= \begin{bmatrix} 0 & \frac{k}{r} \\ -k & -\frac{1}{r^2} \end{bmatrix} \begin{bmatrix} G \\ \frac{r}{k} \frac{\partial G}{\partial r} \end{bmatrix} \\
 \Downarrow & & \Downarrow & \\
 \frac{\partial}{\partial r} \begin{bmatrix} G \\ \frac{\partial G}{\partial r} \end{bmatrix} &= \begin{bmatrix} 0 & 1 \\ -k^2 & -\frac{1}{r} \end{bmatrix} \begin{bmatrix} G \\ \frac{\partial G}{\partial r} \end{bmatrix} & \frac{\partial}{\partial r} \begin{bmatrix} G \\ \frac{r}{k} \frac{\partial G}{\partial r} \end{bmatrix} &= \begin{bmatrix} 0 & \frac{k}{r} \\ -kr & 0 \end{bmatrix} \begin{bmatrix} G \\ \frac{r}{k} \frac{\partial G}{\partial r} \end{bmatrix} \\
 \Downarrow & & \Downarrow & \\
 \frac{\partial}{\partial r} G_1 &= \begin{bmatrix} 2i\pi k\xi & 1 \\ -k^2 & 2i\pi k\xi - \frac{1}{r} \end{bmatrix} G_1 & \frac{\partial}{\partial r} G_2 &= \begin{bmatrix} 2i\pi k\xi & \frac{k}{r} \\ -kr & 2i\pi k\xi \end{bmatrix} G_2 \\
 \text{avec } G_1 &= e^{2i\pi k\xi x} \begin{bmatrix} G \\ \frac{\partial G}{\partial r} \end{bmatrix} & \text{avec } G_2 &= e^{2i\pi k\xi x} \begin{bmatrix} G \\ \frac{r}{k} \frac{\partial G}{\partial r} \end{bmatrix}
 \end{aligned}$$

Une dérivation de  $b_1$  et  $b_2$  donne un  
facteur  $\frac{1}{k}$

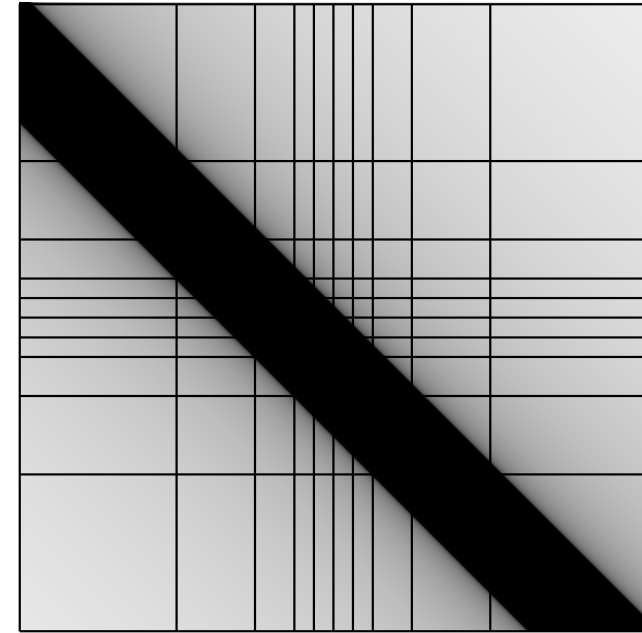
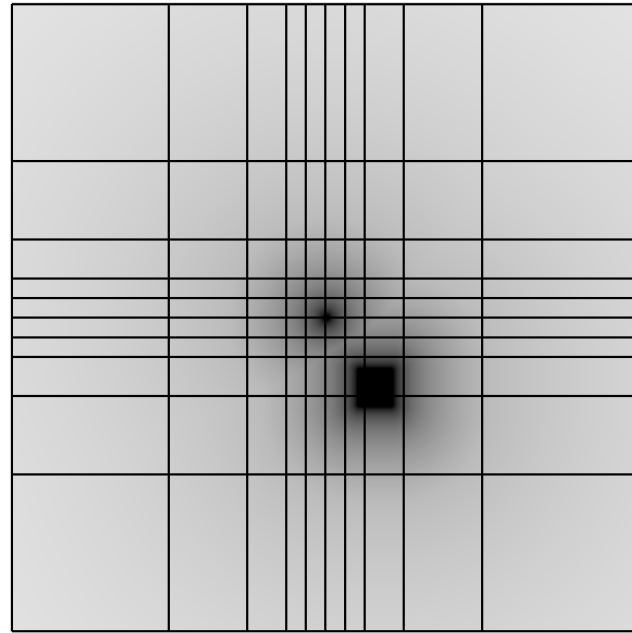
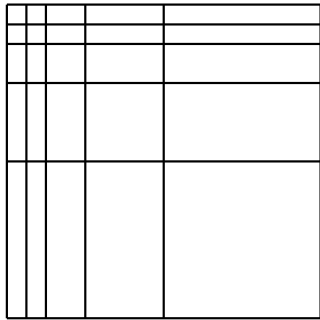
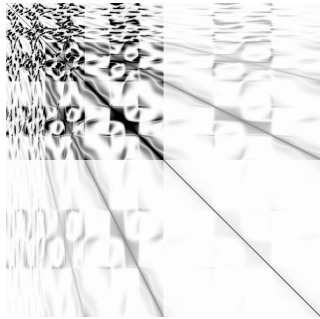
# $D^{8/9}$ PERTURBATION DU DISQUE : PARTIE RÉELLE



# $D^{9/9}$ PERTURBATION DU DISQUE : PARTIE IMAGINAIRE



# $E^{1/6}$ POURQUOI LES ONDELETTES NE MARCHAIENT PAS



$$\begin{aligned} \langle K | B_i \otimes B_j \rangle \\ = \\ \langle \hat{K} | \widehat{B_i} \otimes \widehat{B_j} \rangle \end{aligned}$$

Le rectangle dépend  
des deux fenêtres

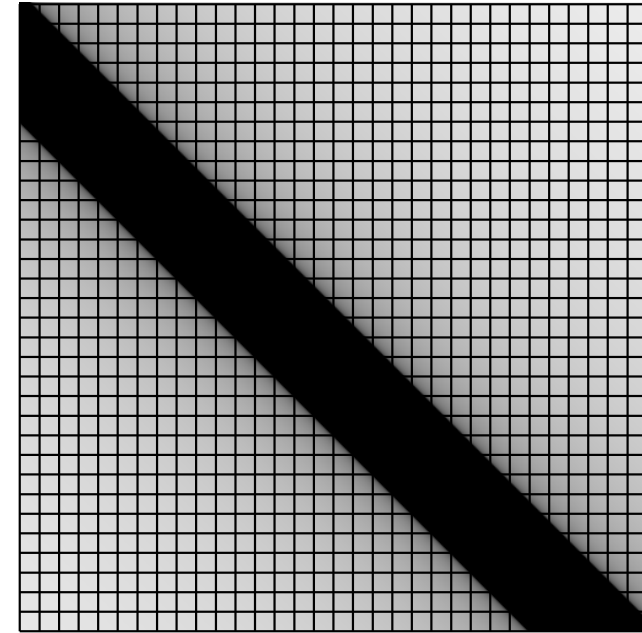
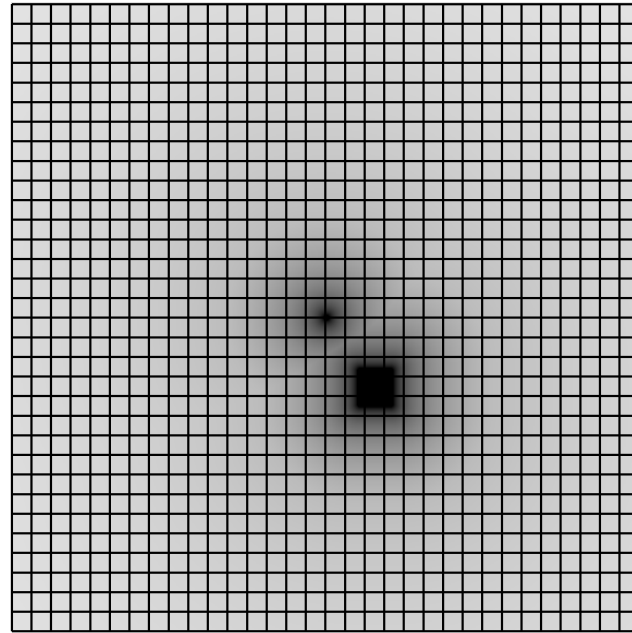
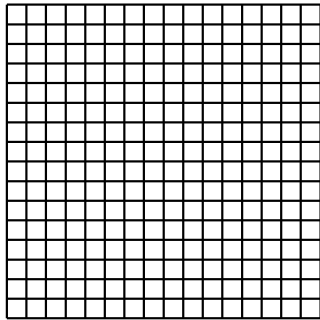
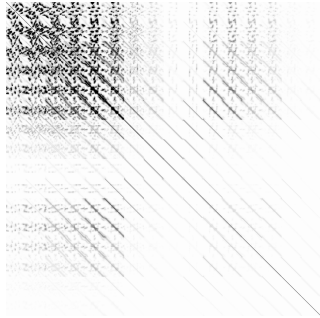
La bande dépend  
des deux fenêtres

Contenu fréquentiel du noyau  $K$

Cas non diagonal.

Cas diagonal.

## $E^{2/6}$ POURQUOI LES PAQUETS D'ONDELETTES SONT MIEUX



Le rectangle dépend  
des deux fenêtres

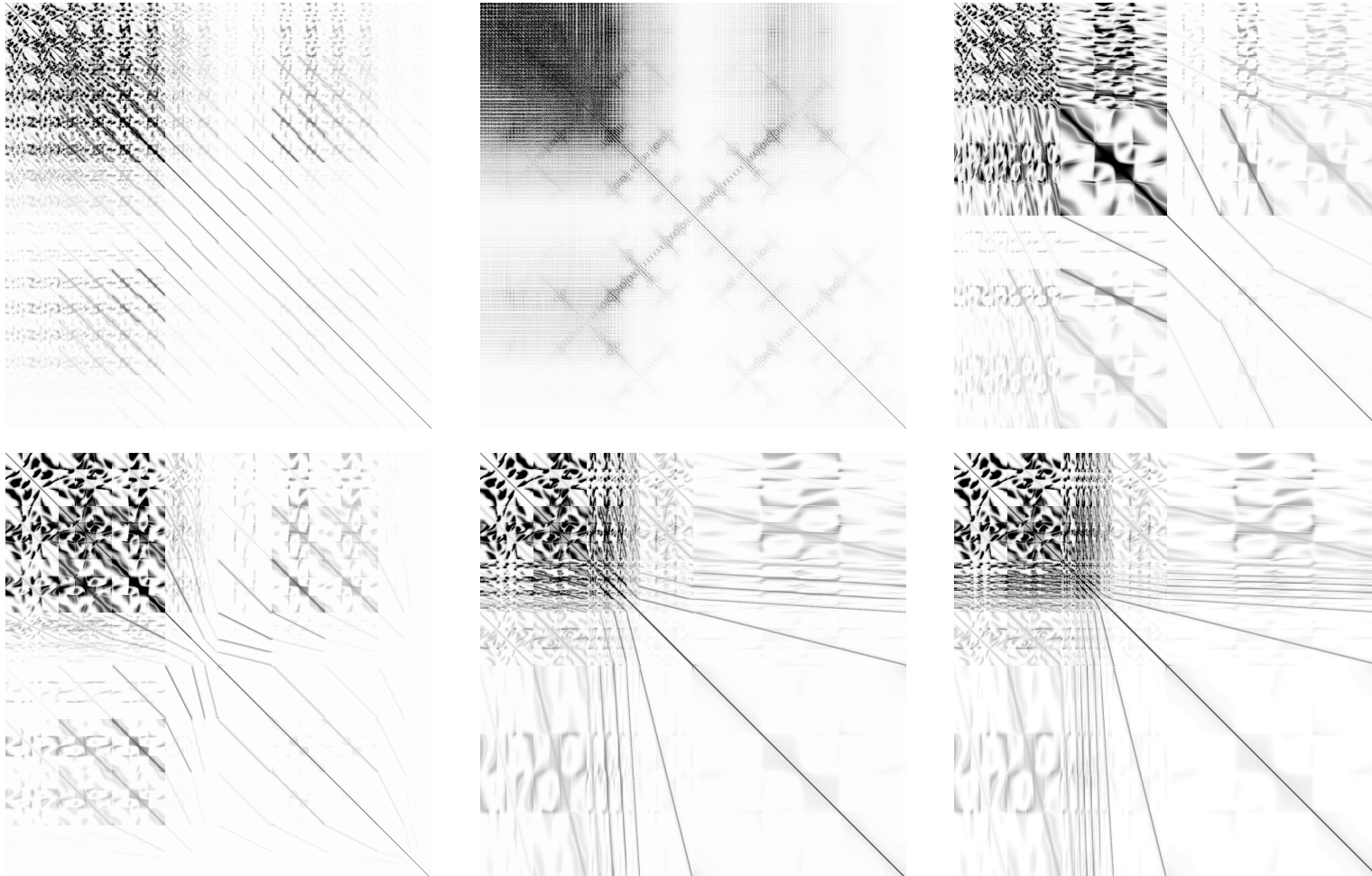
La bande dépend  
des deux fenêtres

Contenu fréquentiel du noyau  $K$

Cas non diagonal.

Cas diagonal.

## $E^{3/6}$ EXEMPLES DE DÉCOUPAGES EN PAQUETS D'ONDELETTES



Moins de contact avec  $\hat{K}$ .  $\Leftarrow$  Blocs plus petits.  $\Rightarrow$  Plus de diagonales.



$E^{4/6}$  PAQUETS D'ONDELETTES MIEUX QUE LES ONDELETTES

| $S = \cup, T = 16$                      | $k = 20\pi, N = 2048$ |     | $k = 80\pi, N = 4096$ |      |
|-----------------------------------------|-----------------------|-----|-----------------------|------|
| $Tk =$                                  | 1000                  |     | 4000                  |      |
| RMS=                                    | 10%                   | 1%  | 10%                   | 1%   |
| FWT sur 6 niveaux                       | 391                   | 667 | 6347                  | 8310 |
| FWPT avec 32 fenêtres<br>fréquentielles | 274                   | 544 | 2575                  | 4248 |
| FWPT avec 64 fenêtres<br>fréquentielles | 319                   | 645 | 3427                  | 5636 |
| Cosinus avec 64 fenêtres                | 216                   | 542 |                       |      |

en milliers de coefficients utiles, avec  $\alpha = 4$ . FWT est plus coûteux.

## E<sup>5/6</sup> DÉCOUPAGE À CHOISIR : MULTIPLES STRATÉGIES, PARTIE 5

|                                              |             |
|----------------------------------------------|-------------|
| $S = \cup, k = 62, N = 1024, Tk = 1000$      | $RMS = 8\%$ |
| FWPT tensorisé raffinant pour $ \xi  \leq 1$ | 314         |
| FWPT avec 16 fenêtres fréquentielles         | 345         |
| FWT 4 niveaux                                | 461         |
| FWPT avec 128 fenêtres fréquentielles        | 670         |

en milliers de coefficients utiles, avec  $\alpha = 4$ . Compromis sur le découpage.

## E<sup>6/6</sup> PAQUETS D'ONDELETTE SUR $\square$ À HAUTES FRÉQUENCES

| N    | $Tk$ | $k$ | %RMS | FWPT | taille matrice pleine |
|------|------|-----|------|------|-----------------------|
| 2048 | 2560 | 160 | 1%   | 919  | 4200                  |
| 4096 | 5120 | 320 | 10%  | 782  | 16776                 |
| 4096 | 5120 | 320 | 1%   | 1200 | 16776                 |

Deux dernières colonnes en milliers de coefficients, avec  $\alpha = i\frac{4\pi}{k}$  (voir articles préexistants). La compression marche même avec des coins, mais le pas de discrétisation est non garanti.

## $F^{1/2}$ OPÉRATEUR BIEN CONCENTRÉ EN FRÉQUENCE

$L^2(\partial S) = V_h \oplus V_h^\perp$  donne la décomposition

$$A = \begin{bmatrix} A_h & B_h \\ C_h & D_h \end{bmatrix}$$

Restriction "classique" à  $hk \leq \frac{1}{10}$ .



### théorème $\mathcal{F}$ (4.5)

Si  $V_h$  est le début de la base de Fourier, les trois  $L^2(\partial S)$ -endomorphismes  $B_h$ ,  $C_h$  et  $D_h - \text{Id}|_{V_h^\perp}$  ont une norme plus petite que  $C_{S,\alpha}kh$ .

Démonstration : théorèmes D1 et D2, avec  $b_1 = 1$  et  $b_2 = 1$ .  $N = \frac{T}{h}$ .

## F<sup>2/2</sup> CALIBRATION DU PAS DE DISCRÉTISATION

$h \leq \varepsilon(k\|A^{-1}\|^{1/2})^{-1}$  suffit pour que  $\|A_h^{-1}\|_{V_h \rightarrow V_h} \leq C_{S,\alpha,\varepsilon}\|A^{-1}\|$ .

Preuve avec Schur :

$$A_h = (A_h - B_h D_h^{-1} C_h) + B_h D_h^{-1} C_h$$

$$\begin{bmatrix} A_h - B_h D_h^{-1} C_h & 0 \\ 0 & D_h \end{bmatrix} = \begin{bmatrix} \text{Id} & -B_h D_h^{-1} \\ 0 & \text{Id} \end{bmatrix} \begin{bmatrix} A_h & B_h \\ C_h & D_h \end{bmatrix} \begin{bmatrix} \text{Id} & 0 \\ -D_h^{-1} C_h & \text{Id} \end{bmatrix}$$

avec Id valant  $\text{Id}|_{V_h}$  ou  $\text{Id}|_{V_h^\perp}$ . Utilité :  $\frac{\|J_h - P_h J\|}{\|A_h^{-1}\|} \leq$

$$\|A_h(J_h - P_h J)\| = \|A(J - P_h J)\| \leq (\|B_h\| + \|D_h - \text{Id}\|)\|J - P_h J\|$$

## BILAN DES RÉSULTATS

Étude hautes fréquences, sur l'opérateur  $A$  de CFIE :

- Estimations sur  $\|A\|$ .
- Estimations fréquentielles sur les interactions à distance.
- Estimations fréquentielles sur toutes les interactions.
- Calibration du pas de discrétisation  $h$  en fonction de  $k$  et de  $\|A^{-1}\|^{-1/2}$ .



**erci.**